

толщин составляют соответственно 6 и 1,5 мм. Для нити того же диаметра из платины эти величины равны 3 и 0,8 мм.

Интересные результаты получены при измерении температуры термопарой, одним из термоэлектродов которой служит сама теплопроводная нить. Зафиксированы колебания температуры в газовой фазе с периодичностью, соответствующей периодичности выгорания КС в вершине конуса (рис. 4). В моменты выгорания слоев КС температура газовой фазы повышается. В период подготовки КС к выгоранию температура понижается до момента выгорания очередного слоя. Переменность температуры газовой фазы свидетельствует о переменности теплового потока, поступающего из газовой в конденсированную фазу, что в свою очередь определяет колебательный характер температуры в конденсированной фазе и скорости горения (см. рис. 4).

Таким образом, в результате экспериментального исследования показано, что колебательный режим горения проявляется и в специфических условиях горения КС, армированных теплопроводными нитями. Периодичность выгорания КС соответствует периодическому изменению теплового потока, поступающего в конденсированную фазу из газовой. Толщина слоя КС, выгорающего вдоль нити, зависит от геометрических и теплофизических характеристик теплопроводной нити.

Ленинградский механический институт

Поступила в редакцию
10/VI 1975

ЛИТЕРАТУРА

1. Г. Г. Шелухин, В. Ф. Булдаков, В. П. Белов. ФГВ, 1969, 5, 1.

НЕИЗОТЕРМИЧЕСКАЯ КИНЕТИКА ПОЛИМЕРИЗАЦИОННЫХ ПРОЦЕССОВ. ЦИЛИНДРИЧЕСКИЙ РЕАКТОР КОНЕЧНОЙ ДЛИНЫ

Г. Б. Манелис, Л. П. Смирнов, Н. И. Перегудов

В [1] были представлены результаты теоретического исследования макрокинетических закономерностей полимеризации в периодическом реакторе без перемешивания для случая цилиндрического сосуда неограниченной длины. Учет теплообмена цилиндрического реактора с окружающей средой с торцевых поверхностей представляет интерес, поскольку подобный теплообмен может привести к существенным эффектам в развитии химической реакции. В теории теплового взрыва обычно рассматривается случай цилиндрического сосуда бесконечной длины [2—4], поэтому исследование нестационарных полей температуры в цилиндре конечной длины важно и для развития теории теплового взрыва.

Система безразмерных уравнений, описывающая существенно нестационарное протекание химической реакции в рассматриваемом реакторе в тех же предположениях, что и в работе [1], может быть записана в следующем виде:

$$\begin{aligned} \frac{\partial \theta}{\partial \tau} = & \exp[\theta/(1+\beta\theta)]f(\eta) + \\ & + 1/\delta(1/\xi \cdot \partial \theta / \partial \xi + \partial^2 \theta / \partial \xi^2 + \partial^2 \theta / \partial \zeta^2), \end{aligned} \quad (1)$$

уравнение кинетики простой односторонней реакции

$$\frac{\partial \eta}{\partial \tau} = \gamma \exp[\theta/(1+\beta\theta)] f(\eta) \quad (2)$$

при $-1 \leq \xi \leq 1$, $-L \leq \zeta \leq L$, $0 \leq \eta \leq 1$, $0 \leq \tau < \infty$.

Начальные условия:

$$\theta(\xi, \zeta, 0) = \theta_0, \quad \eta(\xi, \zeta, 0) = 0. \quad (3)$$

Границные условия:

$$\frac{\partial \theta(1, \zeta, \tau)}{\partial \xi} = -Bi_1 \theta, \quad (4)$$

$$\frac{\partial \theta(\xi, L, \tau)}{\partial \zeta} = Bi_2 \theta, \quad (5)$$

$$\frac{\partial \theta(\xi, 0, \tau)}{\partial \zeta} = 0, \quad (6)$$

$$\frac{\partial \theta(0, \zeta, \tau)}{\partial \xi} = 0. \quad (7)$$

Здесь $\zeta = z/a$, $L = l/a$, $Bi_1 = \alpha_1 a / \lambda$, $Bi_2 = \alpha_2 a / \lambda$, где z — осевая координата; l — полувысота цилиндра; a — радиус цилиндра; α_1 — коэффициент теплообмена цилиндра с окружающей средой на боковой поверхности; α_2 — коэффициент теплообмена цилиндра с окружающей средой на торцевых поверхностях¹.

Система уравнений (1), (2) с начальными (3) и граничными (4)–(7) условиями решалась численно с помощью ЭВМ. Основная цель исследования состояла в анализе зависимости нестационарных распределений θ и η , а также времени окончания процесса τ_k от величины параметра L .

Исследование проводилось для случая химической реакции первого порядка (т. е. $f(\eta) = 1 - \eta$) и идеального теплообмена реактора с окружающей средой на боковой и торцевых поверхностях (т. е. $Bi_1 \rightarrow \infty$ и $Bi_2 \rightarrow \infty$). Исследовалась область значений параметра γ , представляющая особенный интерес для полимеризационных процессов ($0,2 \leq \gamma \leq 1$). Величина параметра варьировалась от 0,1 до 10. Вследствие симметрии задачи (уравнения (6), (7)) рассматривалось протекание процесса при $0 \leq \xi \leq 1$ и $0 \leq \zeta \leq L$.

Наибольший интерес представляет исследование режимов с $\theta_0 < 0$ (начальная температура реакционной среды меньше температуры окружающей среды), при которых наблюдается возникновение перемещающейся волны разогрева [1, 4].

Когда $\theta_0 + \gamma^{-1} > 0$, то при всех значениях параметра δ имеются стадии прогрева и разогрева (рис. 1). Если же $\theta_0 + \gamma^{-1} < 0$, то при значениях параметра δ , превышающих некоторую величину δ_1 , реакция заканчивается прежде, чем внутренние слои сосуда прогреваются до температуры окружающей среды и, следовательно, стадия разогрева отсутствует. Величина δ_1 падает с увеличением L .

Как видно из рис. 1, величина максимального разогрева θ_m при сравнительно небольших δ в случае цилиндра конечной длины меньше, чем

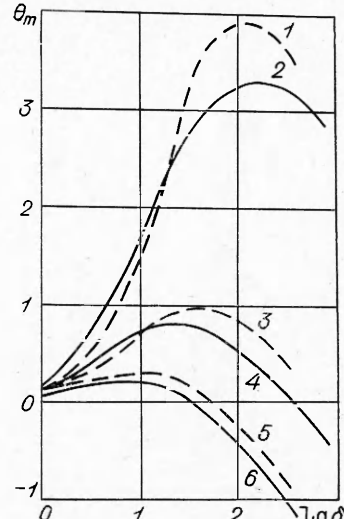


Рис. 1. Зависимость $\theta_m (\lg \delta)$ при $\theta_0 = -3,5$.

1 — $\gamma=0,22$, $L=1$; 2 — $\gamma=0,22$, $L \rightarrow \infty$;
3 — $\gamma=0,44$, $L=1$; 4 — $\gamma=0,44$, $L \rightarrow \infty$;
5 — $\gamma=0,88$, $L=1$; 6 — $\gamma=0,88$, $L \rightarrow \infty$.

¹ Остальные переменные и параметры те же, что и в работе [1].

Сопоставление характеристик процесса полимеризации в реакторах конечной и неограниченной длины

δ	γ	L	$\frac{\theta_m(L)}{\theta_m(\infty)}$	h_m	$\tau_k(L)$	$\frac{\tau_k(\infty) - \tau_k(L)}{k_k(\infty)} \cdot \%$
30	0,88	1	—	0,825	9,18	10,4
		2	—	0,831	10,11	1,4
		5	—	0,832	10,19	0,6
		10	—	0,832	10,21	0,4
100	0,88	0,5	—	0,882	12,48	36,3
		1	—	0,905	17,26	11,9
		2	—	0,906	19,05	2,8
		5	—	0,906	19,09	2,6
		10	—	0,906	19,12	2,4
400	0,88	1	—	—	40,93	7,6
	0,44	1	—	—	35,18	8,9
30	0,44	0,1	0,31	0,098	—	—
		0,2	0,45	0,243	—	—
		0,5	1,00	0,567	—	—
		1	1,16	0,691	—	—
		2	1,06	0,701	—	—
		10	1,01	0,701	—	—
100	0,22	0,2	0,53	0,305	—	—
		1	1,21	0,756	—	—
		5	1,06	0,766	—	—
		10	1,05	0,772	—	—

при $L \rightarrow \infty$. Это связано с более интенсивным отводом тепла в стадии разогрева от цилиндров конечной длины по сравнению с бесконечно длинным цилиндром. При больших значениях δ наблюдается обратная картина: увеличение поверхности теплообмена вызывает значительно большей приток тепла в стадии разогрева. Зависимость $\theta_m(L)/\theta_m(\infty)$ от L проходит через максимум при $L \approx 1$ (см. таблицу), так как в этом случае отношение площади поверхности к объему у цилиндра пример-

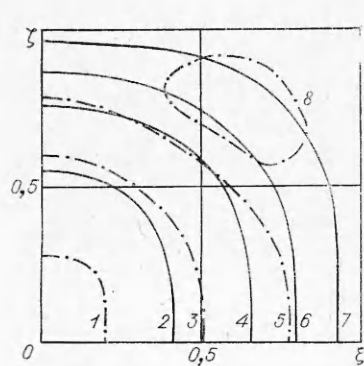


Рис. 2. Распределения $\theta(\xi, \zeta)$ и $\eta(\xi, \zeta)$ при $\gamma=0,22$, $\theta_0=-3,5$, $L=1$ и $\tau=7,11$.
1 — $\theta=-2$; 2 — $\eta=0,1$; 3 — $\theta=-1$; 4 — $\eta=0,3$; 5 — $\theta=0$; 6 — $\eta=0,5$; 7 — $\eta=0,7$.
8 — $\theta=0,5$.

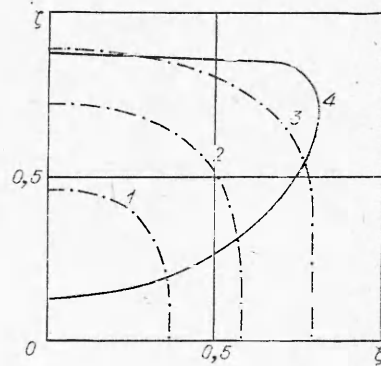


Рис. 3. Распределения $\theta(\xi, \zeta)$ и $\eta(\xi, \zeta)$ при $\gamma=0,22$, $\theta_0=-3,5$, $L=1$ и $\tau=11,56$.
1 — $\theta=3$; 2 — $\theta=2$; 3 — $\theta=1$; 4 — $\eta=-0,95$.

но такое же, как и у сферы. При образовании перемещающейся тепловой волны разогрев в центре сферы, очевидно, должен быть больше, чем в центре бесконечного цилиндра, вследствие большей асимметрии тепловых потоков из зоны максимума температуры к центру и внешней поверхности у сферы по сравнению с цилиндром [1] (коэффициент формы сферы равен 2, а цилиндра 1). Таким образом, разогревы в цилиндрических реакторах конечной длины могут достигать больших значений, чем разогревы в случае бесконечного цилиндра, причем отношение $\theta_m(L)/\theta_m(\infty)$ увеличивается по мере уменьшения γ (см. таблицу).

Место установления максимума разогрева θ_m зависит от величины L . Волна разогрева возникает во внешних слоях реакционного объема. Образование максимума разогрева вблизи внешней поверхности реактора связано с интенсивным выделением тепла за счет химической реакции в ранее всего прогревающихся внешних слоях. При $L < 1$ тепловая волна образуется в плоскости $\xi = 0$ и затем перемещается к центру реактора, несколько увеличиваясь по амплитуде. При больших значениях L волна возникает в плоскости $\xi \neq 0$ и также движется к центру реактора. Если $L \approx 1$, то она успевает дойти до точки $\xi = \xi = 0$ прежде, чем завершится химическая реакция (рис. 2, 3). При $L > 1$ волна подходит к вертикальной оси реактора в плоскости $\xi \neq 0$; при этом максимальный разогрев устанавливается в точке с $\xi \approx L - 1$ и $\xi = 0$ (рис. 4).

Приведенные на рис. 2, 3 характерные распределения свидетельствуют о том, что в общем случае процесс полимеризации протекает неравномерно по объему реактора, что связано с неоднородностью температурного поля. Величина максимальной степени неравномерности распределения глубины превращения h_{\max} [1] зависит от параметра L только при $L < 1$ (см. таблицу).

Времена завершения химической реакции τ_k в случае цилиндров конечной длины заметно отличаются от значений τ_k для неограниченного цилиндра только при малых значениях L . При $L \geq 2$ различие составляет менее 3%.

В заключение авторы выражают свою признательность А. Г. Мержанову за ценные советы при обсуждении результатов работы.

Отделение ИХФ АН СССР,
Черноголовка

Поступила в редакцию
22/X 1975

ЛИТЕРАТУРА

1. Г. Б. Манелис, Л. П. Смирнов. ФГВ, 1976, 12, 3.
2. В. В. Барзыкин, В. Т. Гонтковская и др. ПМТФ, 1964, 3, 118.
3. В. В. Барзыкин, А. Г. Мержанов, В. Т. Гонтковская. ФГВ, 1966, 2, 4, 18.
4. В. Г. Абрамов, В. Т. Гонтковская, А. Г. Мержанов. Изв. АН СССР, сер. хим., 1966, 3, 429; 1966, 5, 823.

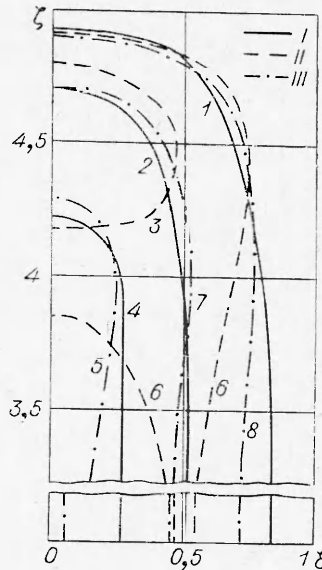


Рис. 4. Распределения $\theta(\xi, \zeta)$ при $\gamma = 0,22$, $\theta_0 = -3,5$ и $L = 5$. τ равно: I — 7,11; II — 11,38; III — 12,80. θ равно: 1 — 0, 2 — -1, 3 — 2, 4 — -2, 5 — 3, 6 — 1, 7 — 2, 8 — 1.